

Stratigraficky nejmladší vápnité nanofosilie v sedimentech české křídové pánve

The stratigraphically youngest calcareous nannofossils of the Bohemian Cretaceous Basin

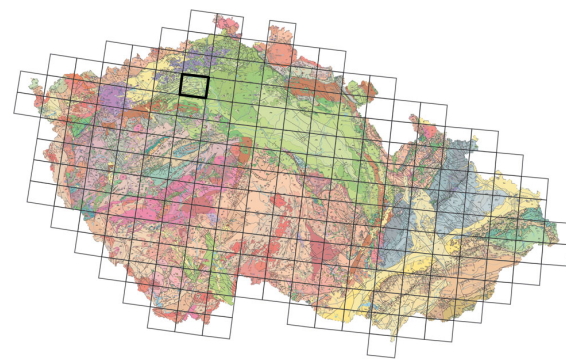
LILIAN ŠVÁBENICKÁ – PETR KYCL – VLADISLAV RAPPŘICH

Česká geologická služba, Klárov 131/3, 118 21 Praha, Czech Republic;
lilian.svabenicka@geology.cz, petr.kycl@geology.cz,
vladislav.rapprich@geology.cz

Key words: Bohemian Cretaceous Basin, Upper Coniacian,
calcareous nannofossils, biostratigraphy

Summary: The youngest hitherto known calcareous nannofossils of the Bohemian Cretaceous Basin were found in the area of Litoměřice, NW Bohemia. Rocks were sampled during the engineering-geological survey of a landslide near Dobkovičky for the purpose of detecting their origin (Figs 1 and 2, Table 1). The presence of the nannofossils reliably distinguished sediments of the Bohemian Cretaceous Basin from the altered Tertiary volcaniclastics and Tertiary and Quaternary deposits that were macroscopically alike. The landslide was activated in June, 2013 and radically damaged the body of the high-way D8 Prague–Dresden under construction.

Grey, whitish grey and light green-grey marly claystones of the Březno Formation provided well preserved nannofossils with biostratigraphic markers *Lucianorhabdus cayeuxii* and *Micula concava* indicating the Upper Coniacian with questionable exceed into Santonian. Three following nannofossil associations were recognized: 1 – *Micula staurophora*, *Lithastrinus septenarius* and sporadic *Marthasterites furcatus*, UC10 zone; 2 – *Lithastrinus grillii* and *Lucianorhabdus inflatus*, zone UC11a-b zone; 3 – *Lucianorhabdus cayeuxii*, *L. arcuatus*, *Micula concava* and *M. cubiformis*, UC11c zone (Table 2). Moreover, the association No. 3 contains species their first occurrence being mentioned from the uppermost Coniacian –



(02-43 Litoměřice)

Cribrocorona gallica, *Gartnerago clarusora*, *G. margaritatus*, *Stauroliithites imbricatus*, *Tortolithus dodekachelyon*, and *Prediscosphaera cf. desiderogradis* (Fig. 3). The abundance of nannofossils and their excellent preservation document shallow epicontinental sea with normal salinity. Quantitative fluctuations of *Biscutum ellipticum* and *Helicolithus trabeculatus* are recorded. These phenomena may reflect the paleoenvironmental changes connected with the Coniacian-Santonian boundary interval. Distribution of nannofossil marker species, biostratigraphic interpretation and photo-documentation are presented. No macrofauna has been recorded.

Nannofossils were investigated from the isolated chip sampling and not from the continuous section. Deposits were sampled from three boreholes surrounding landslide, two manual soil-sounding and from the side minor scarp of the landslide. So, the presented data have only the informative character.

Při průzkumných inženýrskogeologických pracích na sešumu Dobkovičky, který poškodil v červnu 2013 těleso dálnice D8 na Litoměřicku v severozápadních Čechách, byly odebrány vzorky hornin, u nichž bylo nutné rychle zjistit jejich genezi a geologickou pozici (Kycl 2015). Přítomnost nanofosilií odlišila bezpečně sedimenty české křídové pánve (ČKP) od alterovaných vulkanoklastik a terciérních a kvartérních uloženin, makroskopicky velmi podobných. V těchto sedimentech byla zjištěna zatím stratigraficky nejmladší společenstva vápnitých nanofosilií v pánvi.

Předchozí výzkumy

Geologický výzkum se v minulých třiceti letech biostratigrafickému studiu nejmladších vrstev v ČKP systematicky

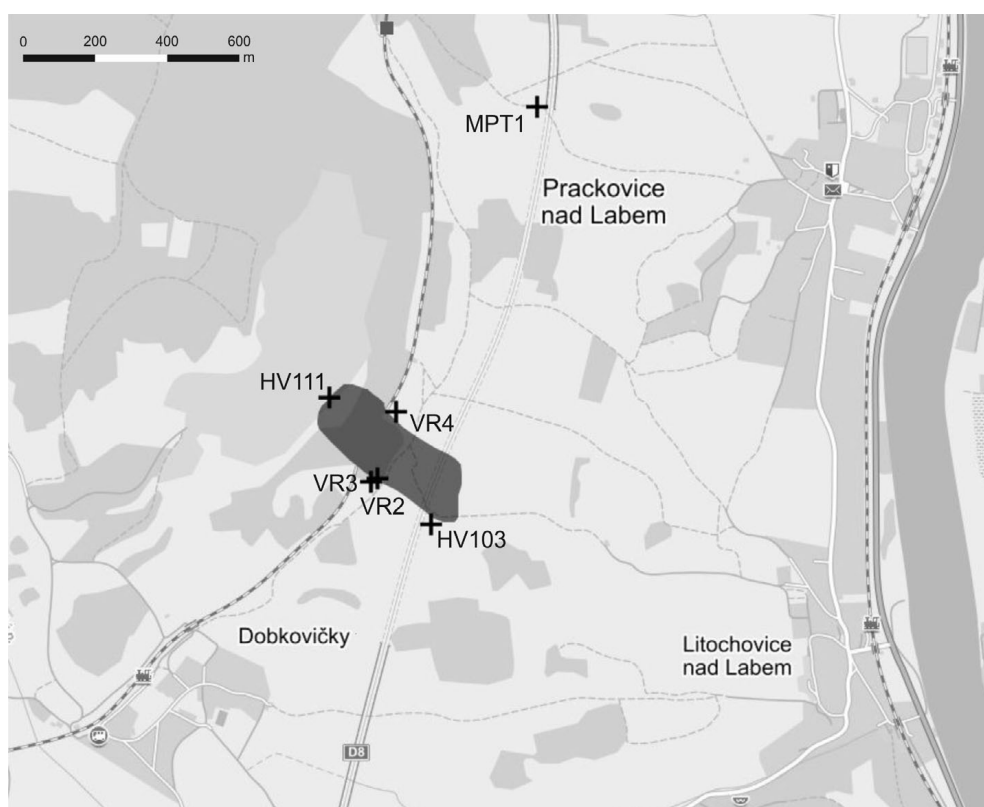
nevěnoval, a tak byla dosavadní data na základě vápnitých nanofosilií získána pouze nahodile, jsou útržkovitá a bez dalších korelací.

Vápnité nanofosilie středního coniaku, spodní část zóny UC10 (Burnett 1998) s druhy *Micula staurophora* a *Lithastrinus septenarius* byly zjištěny ve vrtu Volfartice Vf-1 v sedimentech, z nichž Hercogová (in Čech et al. 1987) uvádí aglutinované foraminifery již santonského stáří. V diskusi práce je upozorněno na nesoulad interpretace těchto foraminifer i s makrofaunou, která rovněž doložila coniac. Stratigraficky mladší nanofosilie s *Lithastrinus grillii*, zóna UC11a, uvádí Bubík et al. (2001) z klasické lokality Lužice (Luschitz, Reuss 1844). Jako zatím stratigraficky nejmladší popsala Svobodová et al. (2014) nanofosilie *Lucianorhabdus cayeuxii* a *Micula concava* ze sedimentu odebraného z výplně obývací komory amonita

Tabulka 1. Pozice vzorků
Table 1. Position of samples

Sample point	Type	Depth of sampling (m)	X (m)	Y (m)	Z – collar of well, sound (m)	Z – sample (m)
MPT1	borehole	2.40	985 717.51	763 622.43	295.46	293.06
VR2	outcrop	1.00	986 664.00	764 182.00	315.00	314.00
VR4	manual sound	1.20	986 509.00	764 104.00	321.00	319.80
HV111	borehole	70.00	986 424.08	764 305.94	384.52	314.52
VR3	manual sound	1.20	986 654.00	764 200.00	321.00	319.80
HV103	borehole	9.30	986 803.48	764 050.81	291.67	282.37
HV103	borehole	18.00	986 803.48	764 050.81	291.67	273.67

souřadný systém Křovák (S-JTSK), vrty byly zaměřeny geodeticky, sondy a výchoz zaměřeny GPS (WGS84 přepočteno na S-JTSK)
Křovák (S-JTSK) coordinate system, boreholes were localized geodetically, manual sounds and outcrop were localized by GPS (WGS84 re-calculated to S-JTSK)



Obr. 1. Situační schéma sesuvu u Dobkoviček s vyznačením lokality (■) Prackovice nad Labem s nálezem amonita *Texanites pseudotexanus* (de Grossouvre, 1894).
Fig. 1. Location of landslide near Dobkovičky including Prackovice nad Labem locality (■), discovery place of ammonite *Texanites pseudotexanus* (de Grossouvre, 1894).

Texanites pseudotexanus (de Grossouvre, 1894). Nález koluje se zónou UC11c nejvyššího coniaku. Nanofosilie s *Lucianorhabdus* cf. *cayeuxii*, *Lithastrinus grillii*, *Micula concava* a fragmenty *Prediscosphaera* cf. *grandis* byly také zaznamenány ve vrtu Lochočice GÚ-24 v hloubce 119,5 m, kde Hercogová (nepubl. údaj 1984) nalezla santonské bentické foraminifery.

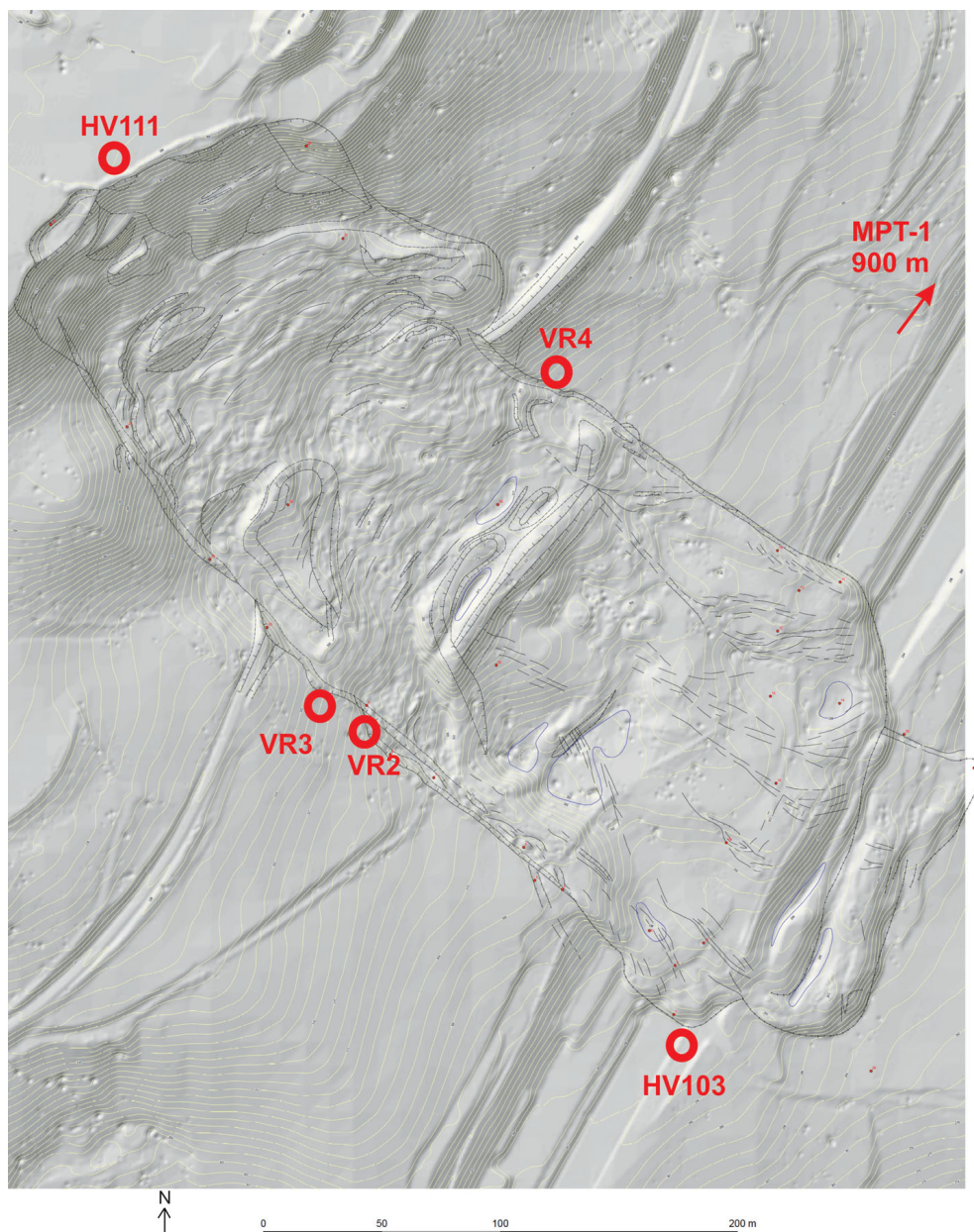
V posledním desetiletí je svrchnímu coniaku a hranici coniac-santon věnována v literatuře značná pozornost. V sedimentech evropské platformní křídy jihovýchodního Německa a jihozápadního Polska tomuto intervalu věnovali pozornost Lees (2008) a Kedziersky (2008), hranici coniac-santon pak studovali Hampton et al. (2007), Melinte a Lamolda (2007) a Blair a Watkins (2009).

Materiál

Vzorky pro studium vápnitých nanofosilií byly odebrány při inženýrskogeologických průzkumných pracích na sesuvu Dobkovičky (obr. 1), a to ze tří vrtů (MPT1, HV103, HV111), dvou ručně zarážených sond (VR3 a VR4) a z výchozu v boční odlučné stěně sesuvu (VR2). Pět vzorků (HV103 – dva vzorky, HV111, VR3 a VR4) bylo odebráno mimo hlavní proud sesuvu – jeden v jeho boční odlučné hraně (VR2) a jeden z vrtu MPT1, situovaného 900 m ssv. od sesuvu (obr. 2). Pozici vzorků tedy neovlivnil pohyb hmoty sesuvu Dobkovičky, aktivovaného 7. června 2013. Jejich lokalizace byla zaměřena GPS a u vrtů převzata z přesného geodetického měření

Obr. 2. Sesuv u Dobkoviček na podkladě LIDAR dat s vyznačením odběru vzorků.

Fig. 2. Landslide near Dobkovičky using LIDAR data and sample position.



(tab. 1). Litologicky jsou to šedé, šedohnědé a bělavě šedé vápnité jílovce až jíly a naleží svrchní části březenského souvrství.

Metody

Vzorky byly připraveny v laboratořích České geologické služby na Barrandově. Ze sedimentů byla dekantací separována frakce 2–30 µm (Švábenická 2012). Preparáty byly studovány ve světelném polarizačním mikroskopu Nikon Microphot-FXA s imerzním objektivem 100×. Dokumentace byla zhotovena digitální kamerou Nikon DXM 1200F, SW ACT-1.

Biostratigrafické závěry a UC zóny jsou interpretovány podle Burnett (1998), lithostratigrafické zařazení sedimentů podle Čecha et al. (1980).

Výsledky

Sedimenty obsahovaly většinou dobře zachované vápnité nanofosilie, a to společenstva jak chudší (5–20 jedinců v jednom zorném poli mikroskopu), tak i bohatá (\pm 50 jedinců v 1 zorném poli mikroskopu). Součástí široce diverzifikovaných společenstev jsou druhy *Micula staurophora*, *Broinsonia parca expansa*, *Marthasterites furcatus*, zástupci rodu *Lucianorhabdus* a vzácně *Grantarhabdus coronadvertis* (obr. 3). K početně hojným patří jedinci *Watznaueria barnesiae*, *Gartnerago obliquum*, *Microrhabdulus belgicus* a zástupci rodu *Zeugrhabdotus*; v některých vzorcích je zřejmý kvantitativní nárůst *Helicolithus trabeculatus* a zástupců rodu *Biscutum* (tab. 2).

Pozorována je nepravidelná přítomnost stratigraficky významných druhů *Lithastrinus septenarius*, *L. grillii*, *Micula concava*, *M. cubiformis*, *M. swastica*, *Chiastozygus*

Tabulka 2. Výskyt stratigraficky významných nanofosilií a jejich stratigrafická interpretace

Table 2. Distribution of stratigraphically significant calcareous nannofossils and their stratigraphic interpretation

Dobkovičky									
Coniacian		Upper		Stage		Sample		Nannofossil abundance Specimens per 1 field of view	
Middle	Upper part	UC11 (pars)	Nannoplankton zones (Burnett 1998)						
UC10 (pars)	a-b	c (pars)	MPT1, 2.4 m	±50/1	VR	C	VR	<i>Acuturris scotus</i> (Risatti) Wind and Wise	
			VR2, 1.0 m	±50/1	VR	A	R-F	<i>Biscutum ellipticum</i> (Görka) Grün	
			VR4, 1.2 m	30-40/1	VR	C-A	R-F	<i>Braarudosphaera bigelovii</i> (Gran and Brarud) Deflandre	
			HV111, 70 m	±1/1		R		<i>Brownsonia parca expansa</i> Wise and Wind	
			VR3, 1.2 m	>>50/1	VR	A	VR	<i>Calcidites obscurus</i> (Feeßlandre) Prins and Sissingh	
			HV103, 9.3 m	40-50/1		C		<i>Chiastozygus stylensis</i> Burnett	
			HV103, 18.0 m	20-30/1		C	VR	<i>Cribrocorona gallica</i> (Stradner) Perch-Nielsen	
								<i>Grantarhabdus coronadensis</i> (Reinhardt) Grün	
								<i>Gartnerago clarusora</i> Varol	
								<i>Gartnerago margaritatus</i> Blair and Watkins	
								<i>Helicolithus trabeculatus</i> (Görka) Verbeek	
								<i>Kamptnerius magnificus</i> Deflandre	
								<i>Lithastrinus grillii</i> Stradner	
								<i>Lithastrinus septenarius</i> Forchheimer	
								<i>Lucianorhabdus arcuatus</i> Forchheimer	
								<i>Lucianorhabdus cayeuxii</i> Deflandre	

Kvantitativní zastoupení: A – > 10 jedinců/1 zorné pole mikroskopu, C – 10 až 5 jedinců/1 zorné pole mikroskopu, F – 4–1 jedinec/1 zorné pole mikroskopu, R – 9–1 jedinec/10 zorných polí mikroskopu, VR – < 1 jedinec/10 zorných polí mikroskopu, cf. – confer.

Abundance of taxa: A (abundant) – > 10 specimens per 1 field of view of the microscope, C (common) – 10–5 specimens per 1 field of view, F (few) – 4–1 specimens per 1 field of view, R (rare) – 9–1 specimens per 10 fields of view, VR (very rare) – < 1 specimen/10 fields of view, cf. – confer.

stylesii, *Uniplanarius gothicus*, *Watznaueria quadriradiata*, *Lucianorhabdus arcuatus*, *L. inflatus*, *L. cayeuxii*, *Staurolithites imbricatus* a *Reinhardtites anthophorus* (tab. 2). Vzácně byly zjištěny nanofosilie, jejichž výskyt nebyl doposud v sedimentech ČKP znám: *Cribrocorona gallica*, *Gartnerago clarusora*, *G. margaritatus*, *Prediscosphaera cf. desiderogradis* a *Tortolithus dodekachelyon* (viz tab. 2). Velmi vzácně a většinou pouze v úlomcích se vyskytly exempláře *Kamptnerius magnificus* a *Braarudosphaera ex gr. bigelovii*.

Ve společenstvích se vzácně objevovaly i špatně zachované (korodované) nanofosilie redeponované ze stratigraficky starších vrstev svrchního cenomanu – *Axopodorhabdus albianus* (VR2, VR4), *Lithraphidites acutus* (VR2), *Helenea chiaschia* (VR2) – a z turonu: *Eprolithus eptapetalus* (VR2) a *Stoverius achylosus* (HV103, 9,3 m).

Stratigrafická interpretace

Společenstva nanofosilií lze rozdělit do následujících skupin (od podloží do nadloží – tab. 2):

– *Micula staurophora*, *Lithastrinus septenarius* a vzácný *Marthasterites furcatus*. Jedinci *Helicolithus trabeculatus* a *Biscutum ellipticum* jsou relativně hojní (až 5 jedinců v 1 zorném poli mikroskopu). Spodní část středního coniaku, zóna UC10.

– *Lithastrinus grillii* a *Lucianorhabdus inflatus*; *M. furcatus* v některých vzorcích chybí. Objevuje se *Lucianorhabdus arcuatus*. Kvantitativní zastoupení *B. ellipticum* a *H. trabeculatus* kolísá. *L. septenarius* není přítomen. Svrchní část středního coniaku, zóna UC11a-b.

– *Lucianorhabdus cayeuxii* (vzácný), *L. arcuatus*, *Micula concava*, *M. cubiformis*; nepravidelný výskyt *M. furcatus*. Kvantitativně hojný *B. ellipticum* (5–10 jedinců v 1 zorném poli mikroskopu), *H. trabeculatus* početně kolísá (5–10 jedinců v 1 poli mikroskopu pouze ve vzorku MPT1). Svrchní coniac, zóna UC11c. V této skupině se nepravidelně objevují druhy *Gartnerago clarusora*, *G. margaritatus*, *Cribrocorona gallica*, *Prediscosphaera cf. desiderogradis*, *Staurolithites imbricatus*, *Tortolithus dodekachelyon*, jejichž první výskyt je v literatuře uváděn buď v hraničním intervalu coniac-santon, nebo ve spodním santonu.

Tabulka 2, pokračování
Table 2, continued

Diskuse

V současné době se v souvislosti s výběrem lokalit vhodných pro redefinici některých hraničních intervalů ve svrchní křídě věnuje stratigrafickým korelacím mimořádná pozornost. Důraz je kladen na porovnání makrofauny s mikrofaunou, tedy i s vápnitymi nanofosiliemi, a data se tak stále zpřesňují. Práce publikované v posledních deseti letech uvádějí ve stratigrafických schématech posun prvních (FO) nebo posledních výskytů (LO) některých markerů a upozorňují na další významné druhy nebo eventy. Jako příklad lze uvést FO *Lithastrinus grillii*, marker báze zóny UC11, který Hampton et al. (2007) koreluje s bází inoceramové zóny Volvicerasmus involutus, tedy již s vyšší částí středního coniaku.

Na nejvyšší coniac ukazuje přítomnost či naopak již absence několika druhů:

– *Cribrocorona gallica* (obr. 3/3–5), jehož FO uvádí Burnett (1998) v nejvyšším coniaku jižní Anglie v zóně Parataxanites serratomarginatus. Kaplan a Kennedy (2000) vymezili v rámci této amonitové zóny event *pseudotexanus*, který korelují s nejvyšší částí (stropem) coniaku. Druh *C. gallica* však chybí ve společenstvu nanofosilií (Svobodová et al. 2014) zjištěném ve výplni obývací komory *Texanites pseudotexanus*. Exemplář byl nalezen v profilu železničního zářezu u Prackovic nad Labem, cca 700 m ssv. od odběru vzorků (viz tab. 1). Protože nebyla v ČKP

v tomto intervalu doposud provedena korelace makrofauny s nanofosiliem v uceleném profilu, lze se pouze domnívat, že EO *C. gallica* je v nadloží báze eventu *pseudotexanus*.

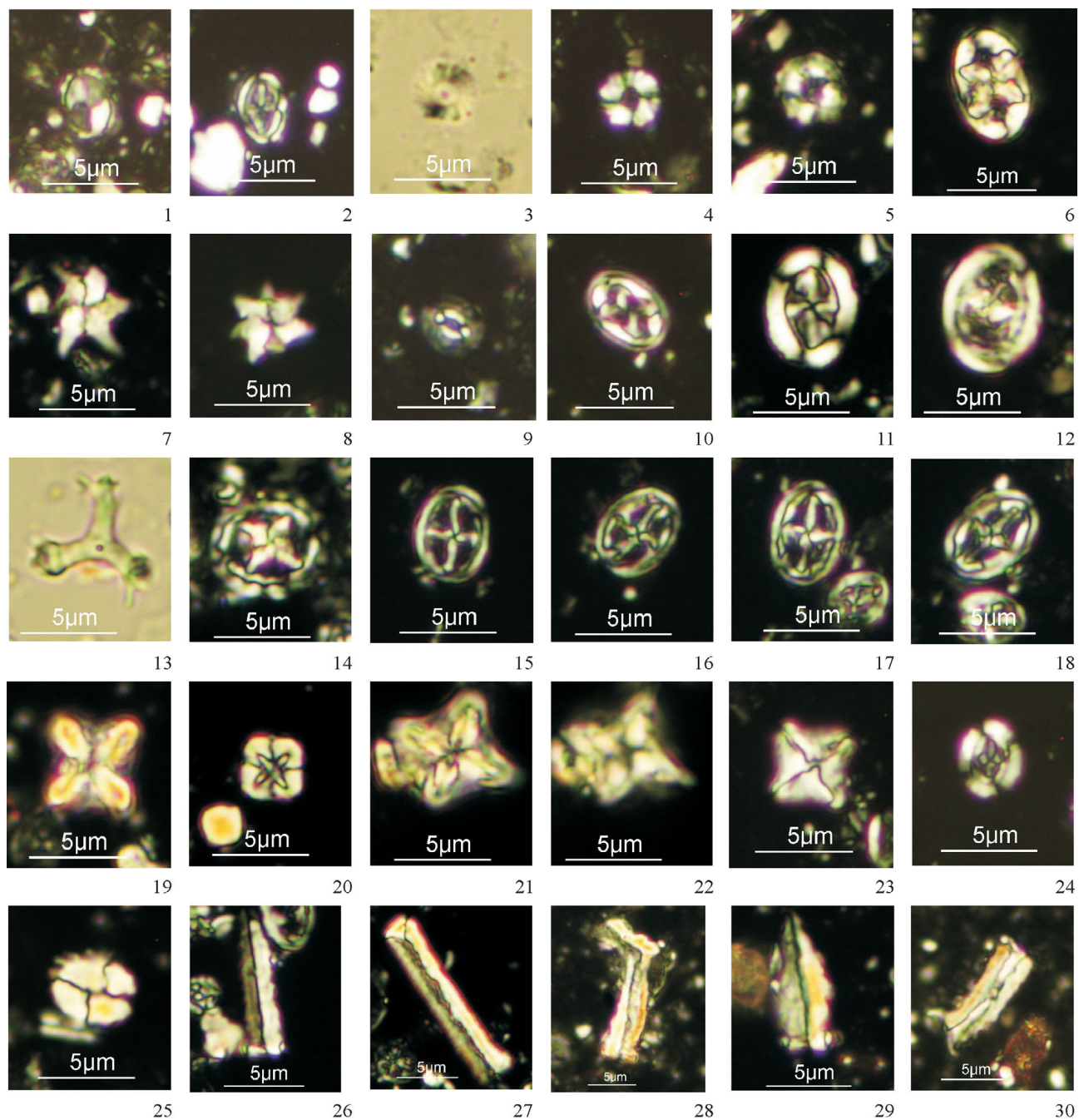
– *Prediscosphaera desiderograndis* (obr. 3/14). Blair a Watkins (2009, Fig. 3) vyznačili FO tohoto druhu v podloží zóny Inoceramus (*Cladoceramus*) undulatoplicatus, jejíž bázi uvádějí jako diagnostický bioevent pro bázi sanfonu.

– *Tortolithus dodekacheylon*, který je uváděn v nadloží FO *P. desiderograndis* (Blair a Watkins 2009, Fig. 3), tedy ve stropu coniaku. Tento druh byl zjištěn pouze ve dvou exemplářích ve vzorku VR2 v asociaci s *C. gallica*.

– *Gartnerago clarusora* (obr. 3/1) uvádí Varol (1991) z intervalu turon–santon z Jižní Ameriky a Blair a Watkins (2009) z hraničního intervalu coniac–santon ze středozápadu USA; v ČKP byl tento druh pozorován zatím pouze v nejvyšším coniaku v této práci.

– *Lucianorhabdus cayeuxii* (obr. 3/30), jehož FO uvádí Burnett (1998) ve vyšší části svrchního coniaku těsně v podloží zóny *Paratexanites serratomarginatus*.

– *Staurolithites imbricatus* a *S. cf. mielnicensis* (obr. 3/15–18). Burnett (1998, Fig. 6.4) vyznačila v severní Evropě FO *S. mielnicensis* ve svrchní části zóny UC11c ve spodním santonu a *S. imbricatus* uvádí rovněž od spodního santonu. Oba druhy se v ČKP vyskytují již před FO *L. cay-euxii* (Švábenická 2015) ve vyšší části středního coniaku.



Obr. 3. Stratigraficky významné nanofosilie, střední a svrchní coniac, česká křídová pánev. Fotodokumentace v polarizovaném světle, pouze obr. 3 a 13 ve světle procházejícím.

Fig. 3. Stratigraphically significant calcareous nannofossils, Middle and Upper Coniacian, Bohemian Cretaceous Basin. Cross-polarized light, figs 3 and 13 plane-polarized light. 1 – *Gartnerago clarusola*, VR4, VR2; 2 – *Gartnerago margaritatus*, VR2; 3–5 – *Cribrocorona gallica*, VR2, VR4; 6 – *Chiastozygus stylesii*, VR4; 7 – *Lithastrinus grillii*, MPT1; 8 – *Lithastrinus septenarius*, HV103 9.3 m; 9 – *Biscutum ellipsum*, VR4; 10 – *Helicolithus trabeculatus*, VR2; 11 – *Broinsonia parca expansa*, MPT1 2.4 m; 12 – *Reinhardtites anthophorus*, VR4; 13 – *Marthasterites furcatus*, HV103; 14 – *Prediscosphaera cf. desiderogradis*, VR2; 15–18 – *Staurolithes imbricatus*, MPT1; 19 – *Micula staurophora*, VR2, VR4; 20 – *Micula cubiformis*, MPT1; 21, 22 – *Micula concava* (high and low focus) MPT1; 23 – *Micula cf. swastica*, VR2; 24 – *Watznaueria quadriradiata*, VR2; 25 – *Calculites obscurus*, VR4; 26 – *Acuturris scotus*, MPT1; 27, 28 – *Lucianorhabdus arcuatus*, VR2, MPT1; 29 – *Lucianorhabdus inflatus*, VR2; 30 – *Lucianorhabdus cayeuxii*, VR2.

– *Lithastrinus septenarius* (obr. 3/8), který je ve svrchním turonu a spodním coniaku ČKP běžnou součástí společenstev, se v těchto vzorcích vyskytuje již vzácně. LO *L. septenarius* definuje strop zóny UC11, spodní santon.

– *Quadrum gartneri*, jehož LO uvádí Burnett (1998) ve

svrchním coniaku, byl pozorován vzácně (tab. 2). Pouze jeden exemplář *Q. intermedium* (6 segmentů) byl nalezen v sondě HV103 v 9,3 m; LO tohoto druhu je uváděn ve středním coniaku (Burnett 1998).

V hraničním intervalu coniac-santon je v literatuře upo-

zorněno na kvantitativní navýšení nanofosilií, z nichž některá byla zaznamenána i zde. Za významný event této hranice považuje Hampton et al. (2007) acme *Helicolithus trabeculatus*. Hojný výskyt (± 10 jedinců v 1 zorném poli mikroskopu, acme) tohoto druhu byl zjištěn ve vzorku MPT1, 2,4 m, a kvantitativní nárůst jedinců (5–10 jedinců v 1 zorném pole mikroskopu) byl zaznamenán i ve vzorcích VR2 a VR4, vždy v asociaci s *Lucianorhabdus cayeuxii*. Intervaly se zvýšeným počtem jedinců *H. trabeculatus* jsou však nárazově pozorovány i v turonu a středním coniaku ČKP (Švábenická 2015). Podobně byly v ČKP zaznamenány intervaly s hojným *Biscutum ellipticum*, ve středním a svrchním coniaku je lze interpretovat jako acme (> 10 jedinců/1 pole mikroskopu). Intervaly se zvýšeným počtem jedinců *H. trabeculatus* a *B. ellipticum* se v ČKP časově nekryjí.

Na acme *Watznaueria quadriradiata* v nejvyšším coniaku upozorňují Blair a Watkins (2009). Tento druh je v ČKP pozorován vzácně již od vyššího středního turonu (Švábenická 2010), ve studovaných vzorcích však nebyl jeho kvantitativní nárůst zjištěn (viz tab. 2).

Ani jedna z uvedených nanofosilií není v literatuře popisována jako stratigrafický marker pro stanovení hranice coniac-santon. U většiny těchto druhů chybí přesná korelace s dalšími skupinami fosilií, především s makrofaunou.

Vzorky nepocházejí z kontinuálního profilu a tak nelze zaznamenat posloupnost eventů (FO a LO jednotlivých druhů, rozsahy acme) a sledovat jejich kvantitativní proměnlivost v čase.

Závěr

Zatím stratigraficky nejmladší nanofosilie v české křídové páni byly zjištěny v sedimentech březenského souvrství u Dobkoviček na Litoměřicku. Společenstva obsahovala druhy, které jsou v literatuře uváděny v nejvyšším coniaku nebo v hraničním intervalu coniac-santon: *Cribrocorona gallica*, *Gartnerago clarusora*, *G. margaritatus*, *Lithastrinus grillii*, *Lucianorhabdus cayeuxii*, *Micula concava*, *Staurolithites imbricatus*, *Tortolithus dodekachelyon*, *Prediscosphaera cf. desiderograndis*. Protože nebyla v ČKP v tomto intervalu dosud provedena korelace makrofauny s nanofosiliemi v uceleném profilu, lze se pouze domnívat, že nejen *C. gallica*, ale i druhy *G. clarusora*, *P. cf. desiderograndis* a *T. dodekachelyon* se zde poprvé vyskytují v nadloží báze eventu *pseudotexanus*, tedy v nejvyšší části/stropu coniaku.

Ve společenstvech byl pozorován kvantitativní nárůst jedinců *Helicolithus trabeculatus* a *Biscutum ellipticum*, jenž může být odrazem změn, které se udály v hraničním období coniac-santon.

Poděkování. Studium vápnitých nanofosilií doplnilo ke stratigrafickým korelacím v české křídové páni důležitá data, která byla sestavena v rámci projektu GAČR P210/10/0841 Biostratigraphic

and palaeoenvironmental nannofossil correlation across the Late Cretaceous in the Bohemian Massif and Western Carpathians. Autoři děkují za podnětné připomínky recenzentům A. Svobodové a M. Košťákově.

Literatura

- BLAIR, S. A. – WATKINS, D. K. (2009): High-Resolution Calcareous Nannofossil Biostratigraphy for the Coniacian/Santonian Stage Boundary, Western Interior basin. – *Cret. Res.* 30, 367–384.
- BUBÍK, M. – ČECH, S. – HRADECKÁ, L. – ŠVÁBENICKÁ, L. (2001): A.12. Lužice ("Luschitz"). In: BUBÍK, M., ed.: Fossil record of agglutinated rhizopods (Foraminifers, Testaceans) on the territory of the Czech Republic. Field trip guide of the 6th IWAF, Prague 2001, 53–56. – Czech Geol. Survey. Prague.
- BURNETT, J. A. (1998): Upper Cretaceous. In: BOWN, P. R., ed.: Calcareous Nannoplankton Biostratigraphy. – Brit. Micropalaeont. Soc. London, 132–199.
- ČECH, S. – HERCOGOVÁ, J. – KNOBLOCH, E. – PACLOVÁ, B. – POKORNÝ, V. – SAJVEROVÁ, E. – SLAVÍK, J. – ŠVÁBENICKÁ, L. – VALEČKA, J. (1987): Upper Cretaceous in the borehole Volfartice Vf-1. – *Sbor. geol. Věd. Geol.* 42, 113–159 (in Czech with English summary).
- ČECH, S. – KLEIN, V. – KRÍŽ, J. – VALEČKA, J. (1980): Revision of the Upper Cretaceous stratigraphy of the Bohemian Cretaceous Basin. – *Věst. Čes. geol. Úst.* 55, 5, 277–296.
- HAMPTON, M. J. – BAILEY, H. W. – GALLAGHER, L. T. – MORTIMORE, R. N. – WOOD, C. J. (2007): The biostratigraphy of Seaford head, Sussex, southern England; an international reference section for the basal boundaries for the Santonian and Campanian Stages in chalk facies. – *Cret. Res.* 28, 46–60.
- KAPLAN, U. – KENNEDY, W. J. (2000): Santonian ammonite stratigraphy of the Münster Basin, NW Germany. – *Acta Geol. pol.* 50, 99–117.
- KĘDZIERSKY, M. (2008): Calcareous nannofossil and inoceramid biostratigraphies of a Middle Turonian to Middle Coniacian section from the Opole Trough of SW Poland. – *Cret. Res.* 29, 451–457.
- KYCL, P. (2015): D8 motorway Dobkovičky landslide: the case history and repair options. – Proc. Prague Geotechn. Days 2015, 32–34. Prague.
- LEES, J. A. (2008): The calcareous nannofossil record across the Late Cretaceous Turonian/Coniacian boundary, including new data from Germany, Poland, the Czech Republic and England. – *Cret. Res.* 29, 40–64.
- MELINTE, M. C. – LAMOLDA, M. A. (2007): Calcareous nannofossil biostratigraphy of the Coniacian/Santonian boundary interval in Romania and comparison with other European regions. – *Cret. Res.* 28, 1, 119–127.
- SVOBODOVÁ, A. – KOŠŤÁK, M. – ČECH, S. – ŠVÁBENICKÁ, L. (2014): New biostratigraphic evidences (texanitid ammonites, inoceramids and calcareous nannofossils) for the Upper and the uppermost Coniacian in the Bohemian Cretaceous Basin. – *Z. Dtsch. Gesell. Geowiss. spec. vol. "Cretaceous basins"* 165, 4, 577–589.
- ŠVÁBENICKÁ, L. (2010): Late Turonian and Turonian-Coniacian boundary according to study of calcareous nannofossils in the Bohemian Cretaceous Basin, Jizera development. – *Zpr. geol. Výzk. v Roce* 2009, 58–64 (in Czech with English abstract).
- ŠVÁBENICKÁ, L. (2012): Nannofossil record across the Cenomanian-Coniacian interval in the Bohemian Cretaceous Basin and Tethyan foreland basins (Outer Western Carpathians), Czech Republic. – *Geol. carpath.* 63, 201–217.
- ŠVÁBENICKÁ, L. (2015): Nannofossil correlation across the Cenomanian to Coniacian interval, Bohemian Cretaceous Basin and Waschberg-Ždánice-Subsilesian Unit, Outer Western Carpathians. In: BUBÍK, M. – CIUREJ, A. – KAMINSKI, M. A., ed.: 16th Czech-Slovak-Polish Palaeontological Conference and 10th Polish Mikropalaeontological Workshop. – Abstract Book and Excursion Guide, Grzybowski Found. Spec. Publ. 21, 69–71.